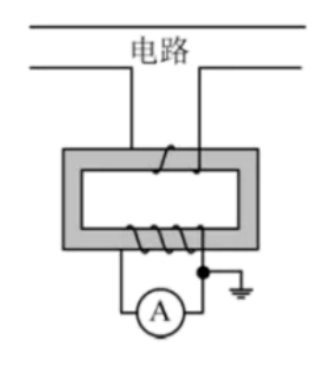
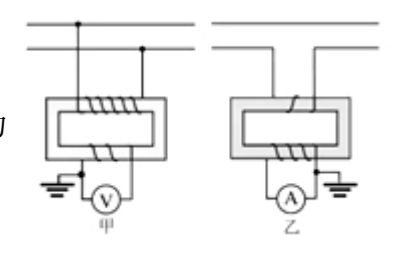
专题 13 交流电

1. (2020·江苏卷) 电流互感器是一种测量电路中电流的变压器, 工作原理如图 所示。其原线圈匝数较少, 串联在电路中, 副线圈匝数较多, 两端接在电流表上 。则电流互感器



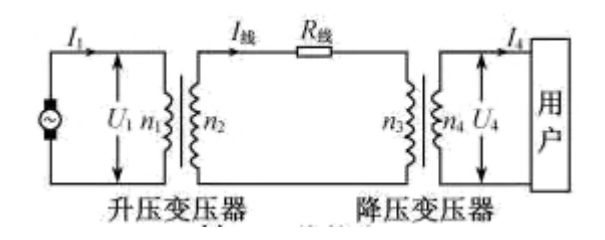
- A. 是一种降压变压器
- B. 能测量直流电路的电流
- C. 原、副线圈电流的频率不同
- D. 副线圈的电流小于原线圈的电流
- 2. (2020·浙江省1月学业水平测试选考)如图所示,甲乙两图中的理想变压器 以不同的方式接在高压电路中。甲图中变压器原副线圈的匝数比为上,电压表读 数为U,乙图中变压器原副线圈的匝数比为 k_2 ,电流表读数为I。则甲图中高压

线电压和乙图中高压线电流分别为

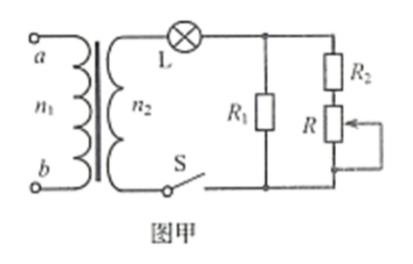


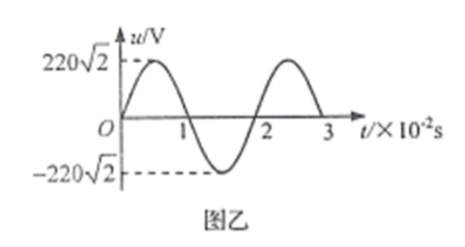
- A. k_1U , k_2I B. k_1U , $\frac{I}{k_2}$ C. $\frac{U}{k_1}$, k_2I D. $\frac{U}{k_1}$, $\frac{I}{k_2}$

3. (2020·浙江卷)如图所示,某小型水电站发电机的输出功率 $P=100{
m kW}$,发电机的电压 $U_1=250{
m V}$,经变压器升压后向远处输电,输电线总电阻 $R_{\rm g}=8\Omega$,在用户端用降压变压器把电压降为 $U_4=220{
m V}$ 。已知输电线上损失的功率 $P_{\rm g}=5{
m kW}$,假设两个变压器均是理想变压器,下列说法正确的是



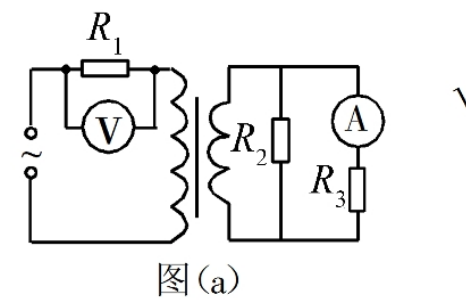
- A. 发电机输出的电流 $I_1 = 40$ A
- B. 输电线上的电流 $I_{\text{±}} = 625$ A
- C. 降压变压器的匝数比 $n_3: n_4 = 190:11$
- D. 用户得到的电流 $I_4 = 455$ A
- 4. (2020·山东卷)图甲中的理想变压器原、副线圈匝数比 n_1 : n_2 =22: 3,输入端 a、b 所接电压 u 随时间 t 的变化关系如图乙所示。灯泡 L 的电阻恒为 15 Ω ,额定电压为 24 V。定值电阻 R_1 =10 Ω 、 R_2 =5 Ω , 滑动变阻器 R 的最大阻值为 10 Ω 。为使灯泡正常工作,滑动变阻器接入电路的电阻应调节为(

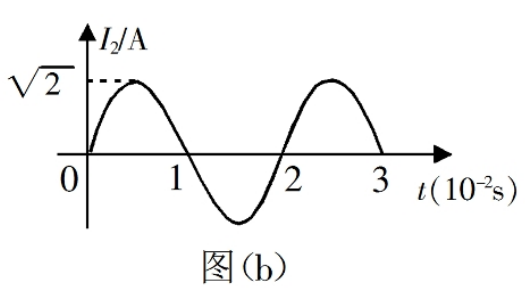




- Α. 1Ω
- Β. 5 Ω
- C. 6Ω
- D. 8Ω
- 5. (2020·新课标III卷) 在图 (a) 所示的交流电路中,电源电压的有效值为 220V ,理想变压器原、副线圈的匝数比为 10:1, R_1 、 R_2 、 R_3 均为固定电阻, $R_2=10\,\Omega$

, R_3 =20 Ω ,各电表均为理想电表。已知电阻 R_2 中电流 i_2 随时间 t 变化的正弦曲 线如图(b)所示。下列说法正确的是



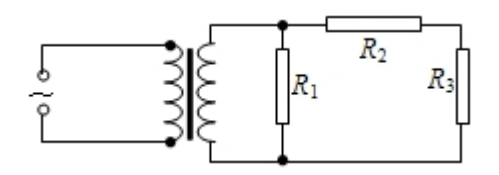


- A. 所用交流电的频率为 50Hz
- B. 电压表的示数为 100V
- C. 电流表的示数为 1.0A
- D. 变压器传输的电功率为 15.0W

十年高考真题分类汇编(2010-2019) 物理 专题 11 交变电流 传感器

选择题:

1.(2019•海南卷•T8)如图,一理想变压器输入端接交流恒压源,输出端电路由 R_1 、 R_2 和 R_3 三个电阻构成。将该变压器原、副线圈的匝数比由 5:1 改为 10:1 后



A.流经 R_1 的电流减小到原来的 $\frac{1}{4}$

B.R₂两端的电压增加到原来的 2 倍

 $C.R_3$ 两端的电压减小到原来的 $\frac{1}{2}$

D.电阻上总的热功率减小到原来的 $\frac{1}{4}$

2.(2019•江苏卷•T1)某理想变压器原、副线圈的匝数之比为 1:10,当输入电压增加 20V 时,

输出电压

A.降低 2V

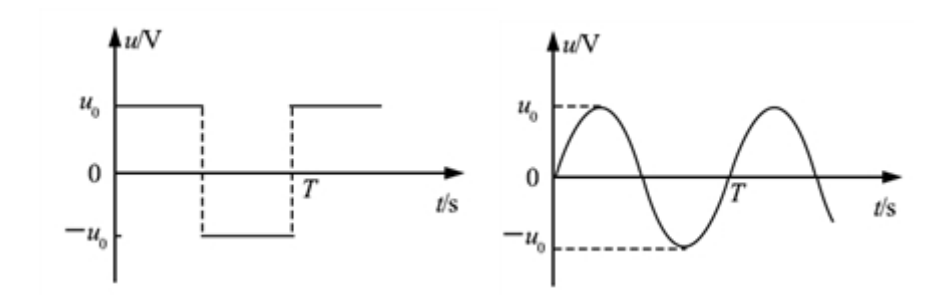
B.增加 2V

C.降低 200V

D. 增 加

200V

3.(2018·全国 III 卷·T3)一电阻接到方波交流电源上,在一个周期内产生的热量为 Q_{π} ; 若该电阻接到正弦交变电源上,在一个周期内产生的热量为 Q_{π} 。该电阻 上电压的峰值为 u_0 ,周期为 T,如图所示。则 Q_{5} : $Q_{\mathbb{E}}$ 等于



A. $1:\sqrt{2}$

B. $\sqrt{2}:1$

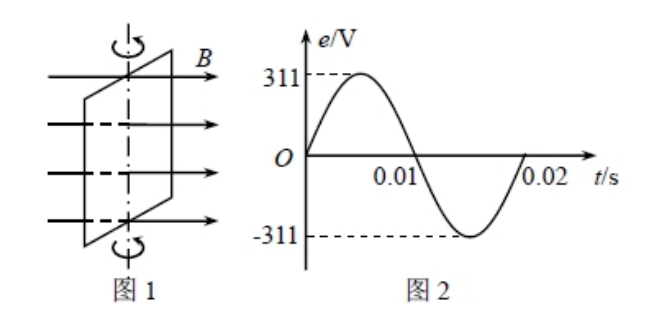
C. 1:2

D. 2:1

4.(2011·安徽卷)如图所示的区域内有垂直于纸面的匀强磁场,磁感应强度为 B。 电阻为 R、半径为 L、圆心角为 45°的扇形闭合导线框绕垂直于纸面的 O 轴以角 速度 ω 匀速转动(O 轴位于磁场边界)。则线框内产生的感应电流的有效值为

B. $\frac{\sqrt{2}BL^2\omega}{2R}$ C. $\frac{\sqrt{2}BL^2\omega}{4R}$ D. $\frac{BL^2\omega}{4R}$

5.(2011·天津卷)在匀强磁场中,一矩形金属线框绕与磁感线垂直的转轴匀速转动 ,如图 1 所示,产生的交变电动势的图象如图 2 所示,则



A.t =0.005s 时线框的磁通量变化率为零

B.t =0.01s 时线框平面与中性面重合

C.线框产生的交变电动势有效值为 311V

D.线框产生的交变电动势的频率为 100Hz

 $6.(2012 \cdot 1.12 \cdot 1.00)$ 化 的 $1.00 \cdot 1.00$ 的 $1.000 \cdot 1.$

A.5V B.5
$$\sqrt{2}$$
 V C.10V D.10 $\sqrt{2}$ V

7.(2013·海南卷)如图所示,水平桌面上固定有一半径为 R 的金属细圆环,环面水平,圆环每单位长度的电阻为 r,空间有一匀强磁场,磁感应强度大小为 B,方向竖直向下;一长度为 2R、电阻可忽略的导体棒置于圆环左侧并与环相切,切点为棒的中点。棒在拉力的作用下以恒定加速度 a 从静止开始向右运动,运动过程中棒与圆环接触良好。下列说法正确的是



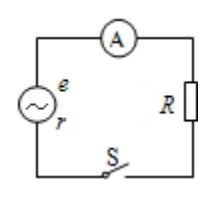
A.拉力的大小在运动过程中保持不变

B.棒通过整个圆环所用的时间为 $\sqrt{\frac{2R}{a}}$

C.棒经过环心时流过棒的电流为
$$\frac{B\sqrt{2aR}}{\pi r}$$

D.棒经过环心时所受安培力的大小为 $\frac{8B^2R\sqrt{2aR}}{\pi r}$

8.(2013·福建卷·T15)如图,实验室一台手摇交流发电机,内阻 $r=1.0\Omega$,外接 $R=9.0\Omega$ 的电阻。闭合开关 S,当发动机转子以某一转速匀速转动时,产生的电 动势 $e=10\sqrt{2}\sin 10\pi (V)$,则

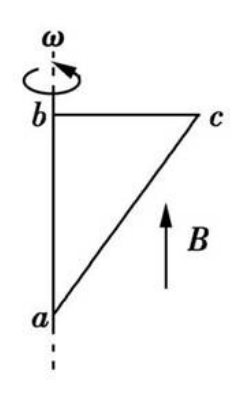


A.该交变电流的频率为 10Hz

B.该电动势的有效值为10√2 V

C.外接电阻 R 所消耗的电功率为 10W D.电路中理想交流电流表@的示数为 1.0A

9.(2015·全国新课标Ⅱ卷·T15)如图,直角三角形金属框 abc 放置在匀强磁场中, 磁感应强度大小为 B, 方向平行于 ab 边向上。当金属框绕 ab 边以角速度 ω 逆时 针转动时, a、b、c 三点的电势分别为 Ua、Ub、Uc。已知 bc 边的长度为 1。下列 判断正确的是



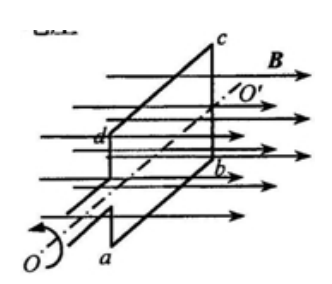
A.U_a>U_c,金属框中无电流

B.U_b>U_c, 金属框中电流方向沿 a-b-c-a

$$C.U_{bc}$$
= $-\frac{1}{2}Bl^2\omega$,金属框中无电流

D.U_{bc}=
$$\frac{1}{2}$$
Bl²ω,金属框中电流方向沿 a-c-b-a

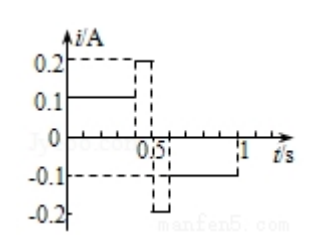
10.(2015·四川卷·T4)小型手摇发电机线圈共 N 匝,每匝可简化为矩形线圈 abcd, 磁极间的磁场视为匀强磁场,方向垂直于线圈中心轴 OO',线圈绕 OO'匀速转动 ,如图所示。矩形线圈 ab 边和 cd 边产生的感应电动势的最大值都为 eo,不计线 圈电阻,则发电机输出电压



A.峰值是 e₀

B.峰值是 $2e_0$ C.有效值是 $\frac{\sqrt{2}}{2}Ne_0$ D.有效值是 $\sqrt{2}Ne_0$

11.(2013·海南卷·T3)通过一阻值 R=100Ω 的电阻的交变电流如图所示,其周期为 1s。电阻两端电压的有效值为



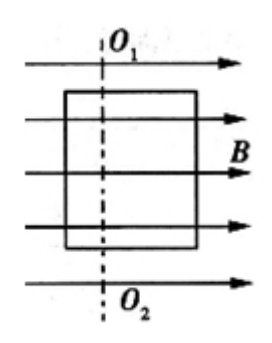
A.12V

 $B.4\sqrt{10} V$

C.15V

 $D.8\sqrt{5} V$

12.(2011·四川卷)如图所示,在匀强磁场中匀速转动的矩形线圈的周期为T,转 轴 O_1O_2 垂直于磁场方向,线圈电阻为 2Ω 。从线圈平面与磁场方向平行时开始计 时,线圈转过60°时的感应电流为1A。那么



A.线圈消耗的电功率为 4W

B.线圈中感应电流的有效值为 2A

C.任意时刻线圈中的感应电动势为 $e=4\cos\frac{2\pi}{T}t$

D.任意时刻穿过线圈的磁通量为
$$\phi = \frac{T}{\pi} \sin P = I^2 r = (\frac{I_m}{\sqrt{2}})^2 r = 2 \frac{2\pi}{T} t$$

13.(2012·广东卷)某小型发电机产生的交变电动势为 $e = 50\sin 100\pi(V)$,对此电动势,下列表述正确的有

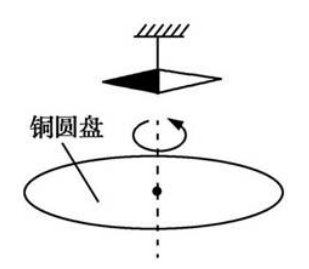
A.最大值是50√2V

B.频率是 100Hz

C.有效值是 $25\sqrt{2}V$

D.周期是 0.02s

14.(2015·全国新课标 I 卷·T19)1824 年,法国科学家阿拉果完成了著名的'圆盘实验"。实验中将一铜圆盘水平放置,在其中心正上方用柔软细线悬挂一枚可以自由旋转的磁针,如图所示。实验中发现,当圆盘在磁针的磁场中绕过圆盘中心的竖直轴旋转时,磁针也随着一起转动起来,但略有滞后。下列说法正确的是



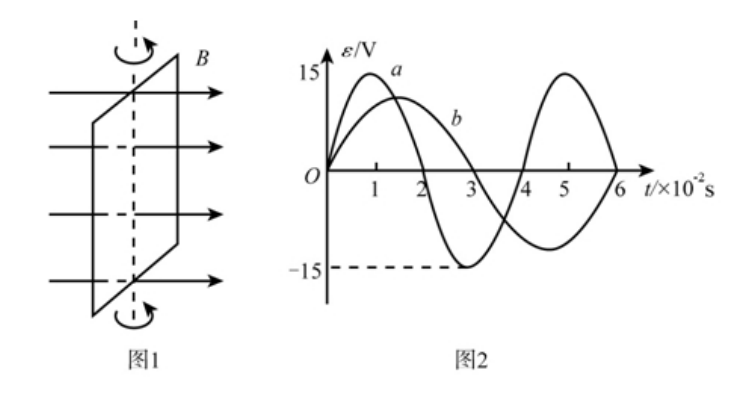
A.圆盘上产生了感应电动势

B.圆盘内的涡电流产生的磁场导致磁针转动

C.在圆盘转动的过程中,磁针的磁场穿过整个圆盘的磁通量发生了变化

D.圆盘中的自由电子随圆盘一起运动形成电流,此电流产生的磁场导致磁针转动

15.(2014·天津卷·T7)如图 1 所示,在匀强磁场中,一矩形金属线圈两次分别以不同的转速,绕与磁感线垂直的轴匀速转动,产生的交变电动势图象如图 2 中曲线 a、b 所示,则



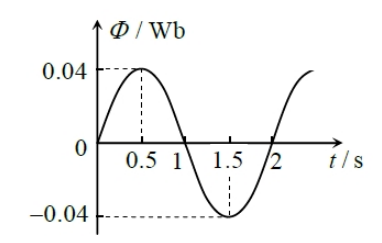
A.两次 t=0 是时刻线圈平面均与中性面重合

B.曲线 a、b 对应的线圈转速之比为 2: 3

C.曲线 a 表示的交变电动势频率为 25Hz

D.曲线 b 表示的交变电动势有效值为 10V

16.(2017·天津卷·T6)在匀强磁场中,一个 100 匝的闭合矩形金属线圈,绕与磁感线垂直的固定轴匀速转动,穿过该线圈的磁通量随时间按图示正弦规律变化。设线圈总电阻为 2Ω ,则



A.t=0 时,线圈平面平行于磁感线

B.t=1 s 时,线圈中的电流改变方向

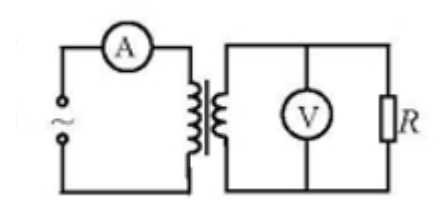
C.t=1.5 s 时,线圈中的感应电动势最大

D.一个周期内,线圈产生的热量为 $8\pi^2$ J

17.(2018·江苏卷·T2)采用 220 kV 高压向远方的城市输电.当输送功率一定时,为使输电线上损耗的功率减小为原来的 $\frac{1}{4}$,输电电压应变为

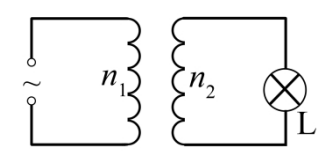
A. 55 kV B. 110 kV C. 440 kV D. 880 kV

 $18.(2018\cdot$ 天津卷·T4)教学用发电机能够产生正弦式交变电流。利用该发电机(内阻可忽略)通过理想变压器向定值电阻 R 供电,电路如图所示,理想交流电流表 A、理想交流电压表 V 的读数分别为 I、U,R 消耗的功率为 P。若发电机线圈的转速变为原来的 $\frac{1}{2}$,则



- A. R 消耗的功率变为 $\frac{1}{2}$ P
- B. 电压表 V 的读数为 $\frac{1}{2}$ U
- C. 电流表 A 的读数变为 2I
- D. 通过 R 的交变电流频率不变

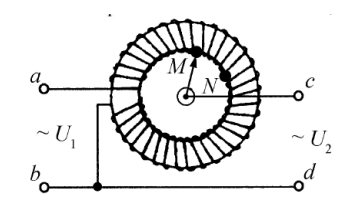
19.(2016·四川卷)如图所示,接在家庭电路上的理想降压变压器给小灯泡 L 供电,如果将原、副线圈减少相同匝数,其它条件不变,则



- A.小灯泡变亮
- B.小灯泡变暗
- C.原、副线圈两段电压的比值不变
- D.通过原、副线圈电流的比值不变

20.(2016·江苏卷)一自耦变压器如图所示,环形铁芯上只绕有一个线圈,将其接在 a、b 间作为原线圈.通过滑动触头取该线圈的一部分,接在 c、d 间作为副线

圈.在 $a \times b$ 间输入电压为 U_1 的交变电流时, $c \times d$ 间的输出电压为 U_2 ,在将滑动 触头从 M 点顺时针旋转到 N 点的过程中



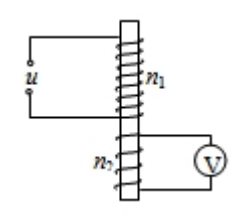
A.U₂>U₁, U₂降低

B.U₂>U₁, U₂升高

C.U₂<U₁, U₂降低

D.U₂<U₁, U₂升高

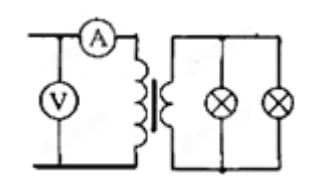
21.(2011·浙江卷)如图所示,在铁芯上、下分别绕有匝数 n₁=800 和 n₂=200 的两个 线圈,上线圈两端 u=51sin314tV 的交流电源相连,将下线圈两端接交流电压表, 则交流电压表的读数可能是



A. 2.0V

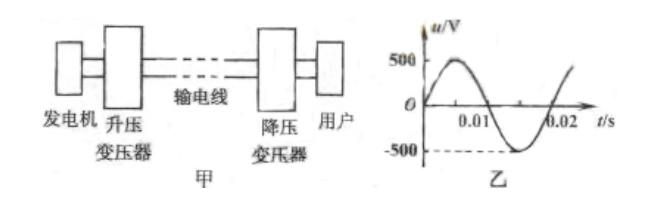
B. 9.0V C. 12.7V D. 144.0V

22.(2012·海南卷·T4)如图,理想变压器原、副线圈匝数比为 20:1,两个标有"12V ,6W"的小灯泡并联在副线圈的两端。当两灯泡都正常工作时,原线圈中电压表 和电流表(可视为理想的)的示数分别是

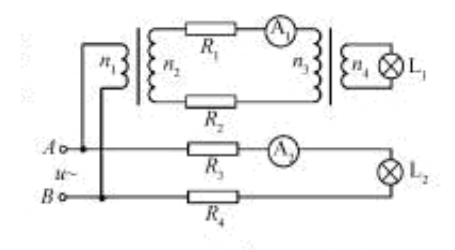


A.120V, 0.10A B.240V, 0.025A C.120V, 0.05A D.240V, 0.05A

23.(2014·四川卷)如图所示,甲是远距离的输电示意图,乙是发电机输出电压随 时间变化的图象,则



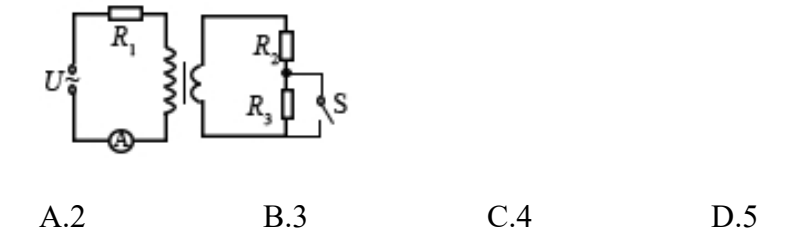
- A.用户用电器上交流电的频率是 100Hz
- B.发电机输出交流电的电压有效值是 500V
- C.输电线的电流只由降压变压器原副线圈的匝数比决定
- D. 当用户用电器的总电阻增大时,输电线上损失功率减小
- 24.(2014·福建卷·T16)图为模拟远距离输电实验电路图,两理想变压器的匝数 $n_1=n_4< n_2=n_3$,四根模拟输电线的电阻 R_1 、 R_2 、 R_3 、 R_4 的阻值均为 R, A_1 、 A_2 为相同的理想交流电流表, L_1 、 L_2 为相同的小灯泡,灯丝电阻 $R_L>2R$,忽略灯丝电阻随温度的变化。当 A、B 端接入低压交流电源时(



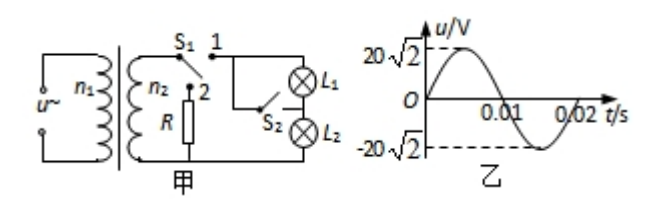
- A.A₁、A₂两表的示数相同
- B.L₁、L₂两灯泡的量度相同
- C.R₁消耗的功率大于 R₃消耗的功率
- D.R₂ 两端的电压小于 R₄ 两端的电压
- 25.(2014·海南卷)理想变压器上接有三个完全相同的灯泡,其中一个与该变压器的原线圈串联后接入交流电源,另外两个并联后接在副线圈两端,已知三个灯泡均正常发光。该变压器原、副线圈的匝数之比为

A.1:2 B.2:1 C.2:3 D.3:2

 $26.(2016\cdot$ 全国新课标 I 卷)一含有理想变压器的电路如图所示,图中电阻 R_1 、 R_2 和 R_3 的阻值分别为 3Ω 、 1Ω 和 4Ω , A为理想交流电流表,U 为正弦交流电压源,输出电压的有效值恒定。当开 S 断开时,电流表的示数为 I;当 S 闭合时,电流表的示数为 4I。该变压器原、副线圈匝数比为



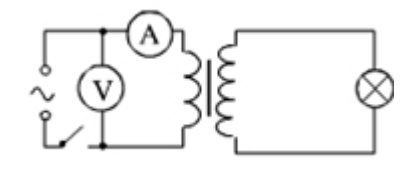
27.(2011·福建卷)图甲中理想变压器原、副线圈的匝数之比 n_1 : n_2 = 51,电阻 R=20 Ω , L_1 、 L_2 为规格相同的两只小灯泡, S_1 为单刀双掷开关.原线圈接正弦交变电源,输入电压 u 随时间 t 的变化关系如图所示.现将 S_1 接 1、 S_2 闭合,此时 L_2 正常发光.下列说法正确的是



A.输入电压 u 的表达式 u= $20\sqrt{2}$ sin(50π)V

- B.只断开 S_1 后, L_1 、 L_2 均正常发光
- C.只断开 S₂后,原线圈的输入功率增大
- D.若 S_1 换接到 2 后,R 消耗的电功率为 0.8W

28.(2011·新课标全国卷)如图,一理想变压器原副线圈的匝数比为 1: 2; 副线圈电路中接有灯泡,灯泡的额定电压为 220V,额定功率为 22W;原线圈电路中接有电压表和电流表。现闭合开关,灯泡正常发光。若用 U 和 I 分别表示此时电压表和电流表的读数,则()



A.U=110V, I=0.2A

B.U=110V, I=0.05A

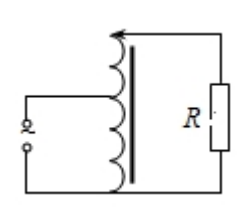
C.U= $110\sqrt{2} \text{ V}$, I=0.2A

D.U= $110\sqrt{2}$ V, $I=0.2\sqrt{2}$ A

29.(2012·天津卷)通过一理想变压器,经同一线路输送相同的电功率 P,原线圈的 电压 U 保持不变,输电线路总电阻的 R。当副线圈与原线圈的匝数比为 k 时, 线路损耗的电功率为 P₁, 若将副线圈与原线圈的匝数比提高到 nk, 线路损耗的 电功率为 P_2 ,则 P_1 ,和 $\frac{P_2}{P_1}$

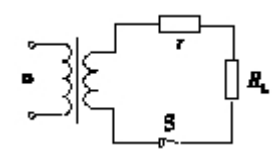
A.
$$\frac{PR}{kU}$$
, $\frac{1}{n}$ B. $(\frac{P}{kU})^2 R$, $\frac{1}{n}$ C. $\frac{PR}{kU}$, $\frac{1}{n^2}$ D. $(\frac{P}{kU})^2 R$, $\frac{1}{n^2}$

30.(2012·新课标卷)自耦变压器铁芯上只绕有一个线圈,原、副线圈都只取该线 圈的某部分,一升压式自耦调压变压器的电路如图所示,其副线圈匝数可调。已 知变压器线圈总匝数为 1900 匝; 原线圈为 1100 匝, 接在有效值为 220V 的交流 电源上。当变压器输出电压调至最大时,负载 R 上的功率为 2.0kW。设此时原 线圈中电流有效值为 I_1 ,负载两端电压的有效值为 U_2 ,且变压器是理想的,则 U_2 和II分别约为



A.380V 和 5.3A B.380V 和 9.1A C.240V 和 5.3A D.240V 和 9.1A

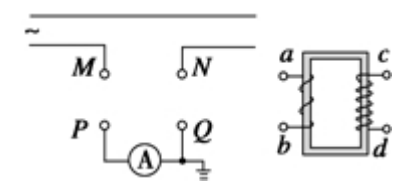
31.(2012·重庆卷)如图所示,理想变压器的原线圈接 $u=11000\sqrt{2}sin100\pi t(V)$ 的交变电压,副线圈通过电阻 r=6 Ω 的导线对"220 V/880 W"的电器 R_L 供电,该电器正常工作.由此可知()



A.原、副线圈的匝数比为 50:1 B.交变电压的频率为 100 Hz

C.副线圈中电流的有效值为 4 A D.变压器的输入功率为 880 W

32.(2013·天津卷)普通的交流电流表不能直接接在高压输电线路上测量电流,通常要通过电流互感器来连接,图中电流互感器 ab 一侧线圈的匝数较少,工作时电流为 I_{ab} ,cd 一侧线圈的匝数较多,工作时电流为 I_{cd} ,为了使电流表能正常工作,则()



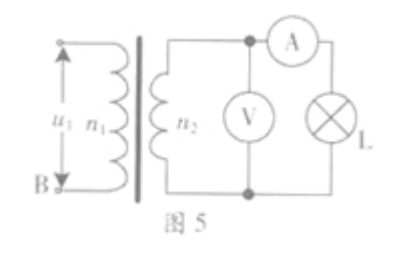
A.ab 接 MN、cd 接 PQ,I_{ab}<I_{cd}

B.ab 接 MN、cd 接 PQ,I_{ab}>I_{cd}

C.ab 接 PQ、cd 接 MN,I_{ab}<I_{cd}

D.ab 接 PQ、cd 接 MN,I_{ab}>I_{cd}

33.(2013·广东卷·T16)如图,理想变压器原、副线圈匝数比 n_1 : n_2 =2:1,V 和 A 均为理想电表,灯泡电阻 R_1 =6Ω,A、B 端电压 u_1 =12 $\sqrt{2}$ sin100πt(V).下列说法正确的是



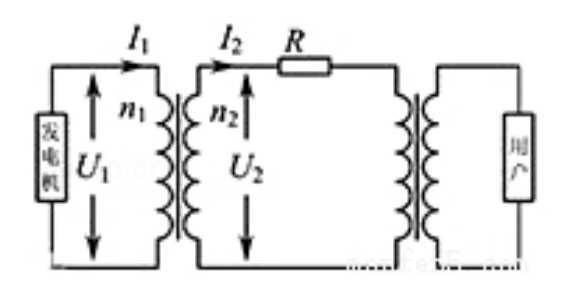
A.电流频率为 100Hz

B.V 的读数为 24V

C.A 的读数为 0.5A

D.变压器输入功率为 6W

34.(2014·江苏卷)远距离输电的原理图如图所示,升压变压器原、副线圈的匝数 分别为 n_1 、 n_2 , 电压分别为 U_1 、 U_2 , 电流分别为 I_1 、 I_2 , 输电线上的电阻为R, 变压器为理想变压器,则下列关系式中正确的是



A.
$$\frac{I_1}{I_2} = \frac{n_1}{n_2}$$
 B. $I_2 = \frac{U_2}{R}$ C. $I_1 U_1 = I_2^2 R$ D. $I_1 U_1 = I_2 U_2$

$$B.I_2 = \frac{U_2}{R}$$

$$C.I_1U_1 = I_2^2R$$

$$D.I_1U_1 = I_2U_2$$

35.(2015·江苏卷卷·T1)一电器中的变压器可视为理想变压器,它将220V交变电流 改为110V,已知变压器原线圈匝数为800,则副线圈匝数为()

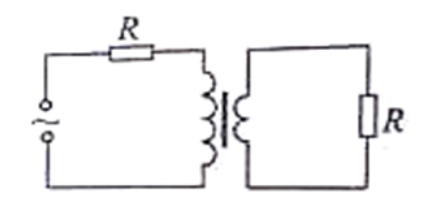
A.200

B.400

C.1600

D.3200

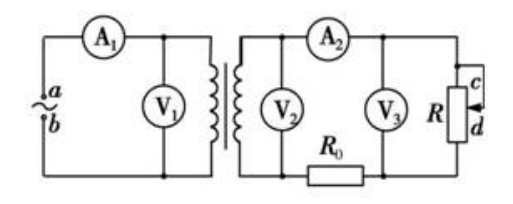
36.(2015·全国新课标 I 卷·T16)一理想变压器的原、副线圈的匝数比为 3:1, 在原 、副线圈的回路中分别接有阻值相同的电阻,原线圈一侧接在电压为 220V 的正 弦交流电源上,如图所示。设副线圈回路中电阻两端的电压为U,原、副线圈 回路中电阻消耗的功率的比值为k,则



A.
$$U = 66V, k = \frac{1}{9}$$
 B. $U = 22V, k = \frac{1}{9}$

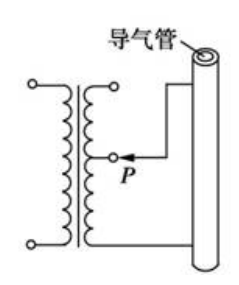
C.
$$U = 66V, k = \frac{1}{3}$$
 D. $U = 22V, k = \frac{1}{3}$

37.(2015·安徽卷卷·T16)图示电路中,变压器为理想变压器,a、b 接在电压有效 值不变的交流电源两端,Ro为定值电阻,R为滑动变阻器。现将变阻器的滑片从 一个位置滑动到另一个位置,观察到电流表 A_1 的示数增大了 0.2A,电流表 A_2 的示数增大了 0.8A。则下列说法正确的是



- A.电压表 V₁ 示数增大
- B.电压表 V₂、V₃示数均增大
- C.该变压器起升压作用
- D.变阻器滑片是沿 $c \rightarrow d$ 的方向滑动

38.(2015·广东卷·T15)图 5 为气流加热装置的示意图,使用电阻丝加热导气管,视变压器为理想变压器,原线圈接入电压有效值恒定的交流电并保持匝数不变,调节触头 P,使输出电压有效值由 220V 降至 110V,调节前后



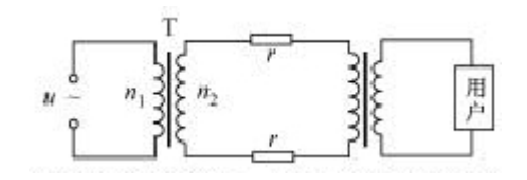
A.副线圈中的电流比为1:2

B.副线圈输出功率比为 2:1

C.副线圈的接入匝数比为 2:1

D.原线圈输入功率比为1:2

39.(2015·福建卷·T15)图为远距离输电示意图,两变压器均为理想变压器,升压变压器 T 的原、副线圈匝数分别为 n_1 、 n_2 。在 T 的原线圈两端接入一电压 $u=U_m\sin\omega t$ 的交流电源,若输送电功率为 P,输电线的总电阻为 2r,不考虑其它因素的影响,则输电线上损失的电功率为



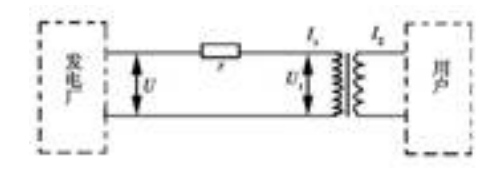
$$A.(\frac{n_1}{n_2})\frac{U_{m}^2}{4r}$$

$$B.(\frac{n_2}{n_1})\frac{U_m^2}{4r}$$

$$C.4(\frac{n_1}{n_2})^2(\frac{P}{U_m})^2$$

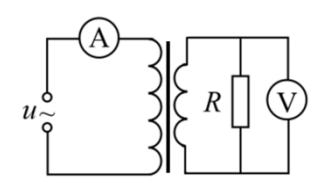
B.
$$(\frac{n_2}{n_1})\frac{U_m^2}{4r}$$
 C. $4(\frac{n_1}{n_2})^2(\frac{P}{U_m})^2r$ D. $4(\frac{n_2}{n_1})^2(\frac{P}{U_m})^2r$

40.(2014·浙江卷)如图所示为远距离交流输电的简化电路图。发电厂的输出电压 是 U, 用等效总电阻是 r 的两条输电线输电, 输电线路中的电流是 I₁, 其末端间 的电压为U₁。在输电线与用户间连有一想想变压器,流入用户端的电流是I₂。 则



- A.用户端的电压为 I₁U₁/I₂
- B.输电线上的电压降为 U
- C.理想变压器的输入功率为 I₁²r
- D.输电线路上损失的电功率为 I₁U

41.(2017·北京卷·T16)如图所示, 理想变压器的原线圈接在 $u=220\sqrt{2}\sin\pi t(\mathrm{V})$ 的 交流电源上,副线圈接有 $R=55\Omega$ 的负载电阻,原、副线圈匝数之比为 2:1,电 流表、电压表均为理想电表。下列说法正确的是

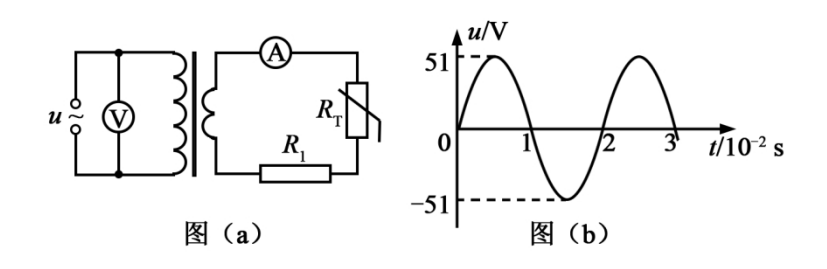


- A.原线圈的输入功率为 $220\sqrt{2}$ W
- B.电流表的读数为1A

C.电压表的读数为 $110\sqrt{2}$ V

D.副线圈输出交流电的周期为 50 s

42.(2016·海南卷)图(a)所示,理想变压器的原、副线圈的匝数比为 4:1, R_T为阻 值随温度升高而减小的热敏电阻、R1为定值电阻、电压表和电流表均为理想交 流电表。原线圈所接电压 u 随时间 t 按正弦规律变化,如图(b)所示。下列说法正 确的是



A.变压器输入、输出功率之比为 4:1

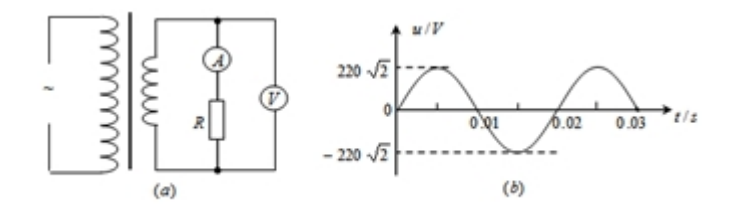
B.变压器原、副线圈中的电流强度之比为 1:4

C.u 随 t 变化的规律为 u=51sin(50πt)(国际单位制)

D.若热敏电阻 R_T 的温度升高,则电压表的示数不变,电流表的示数变大

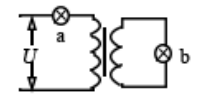
43.(2011·广东卷)图(a)左侧的调压装置可视为理想变压器,负载 Ω 路 ∇ R=55 Ω .

为理想电流表和电压表,若原线圈接入如图 7(b)所示的正弦交变电压,电 压表的示数为 110V, 下列表述正确的是



- A、电流表的示数为2A
- B、原副线圈匝数比为1:2
- C、电压表的示数为电压的有效值 D、原线圈中交变电压的频率为 100HZ

44.(2016·全国新课标III卷·T19)如图,理想变压器原、副线圈分别接有额定电压 相同的灯泡 a 和 b。当输入电压 U 为灯泡额定电压的 10 倍时,两灯泡均能正常 发光。下列说法正确的是

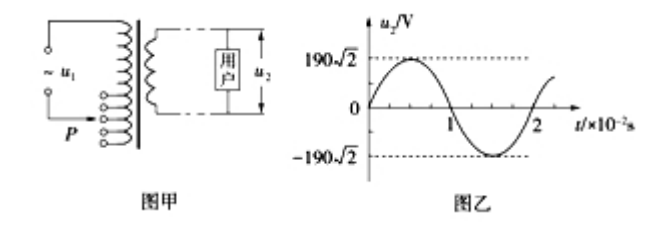


A.原、副线圈匝数比为 9:1

B.原、副线圈匝数比为 1:9

C.此时 a 和 b 的电功率之比为 9:1 D.此时 a 和 b 的电功率之比为 1:9

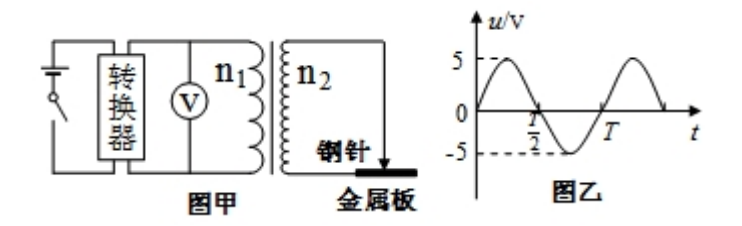
45.(2011·山东卷)为保证用户电压稳定在220V,变电所需适时进行调压,图甲为 调压变压器示意图。保持输入电压 u₁ 不变, 当滑动接头 P 上下移动时可改变输 出电压。某次检测得到用户电压 u2 随时间 t 变化的曲线如图乙所示。以下正确的 是



A, $u_2=190\sqrt{2}\sin(50\pi t)V$

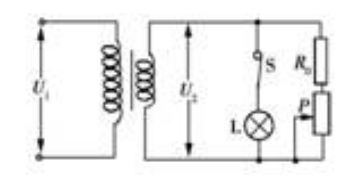
- $B_{y} u_{2}=190\sqrt{2} \sin(100\pi t)V$
- C、为使用户电压稳定在220V,应将 P 适当下移
- D、为使用户电压稳定在220V,应将P适当上移

46.(2012·山东卷)图甲是某燃气炉点火装置的原理图。转换器将直流电压转换为 图乙所示的正弦交变电压,并加在一理想变压器的原线圈上,变压器原、副线圈 的匝数分别为 n₁、n₂。 V为交流电压表。当变压器副线圈电压的瞬时值大于 5000V 时,就会在钢针和金属板间引发电火花进而点燃气体。以下判断正确的是



- A.电压表的示数等于 5V
- B.电压表的示数等于 $\frac{5}{\sqrt{2}}$ V
- C.实现点火的条件是 $\frac{n_2}{n_1}$ >1000
- D.实现点火的条件是 $\frac{n_2}{n_1}$ <1000

47.(2014·广东卷·T19)如图所示的电路中,P 为滑动变阻器的滑片。保持理想变压器的输入电压 U_1 不变,闭合电建 S,下列说法正确的是



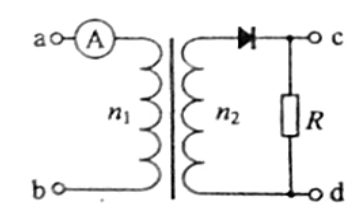
A.P 向下滑动时,灯L变亮

B.P 向下滑动时,变压器的输出电压不变

C.P 向上滑动时,变压器的输入电流减小

D.P 向上滑动时,变压器的输出功率变大

48.(2014·新课标全国卷 II)如图所示,一理想变压器原、副线圈的匝数分别为 n_1 、 n_2 。原线圈通过一理想电流表 接正弦交流电源,一个二极管和阻值为 R 的负载 电阻串联后接到副线圈的两端:假设该二极管的正向电阻为零,反向电阻为无穷 大;用交流电压表测得 a、b 端和 c、d 端的电压分别为 U_{ab} 和 U_{cd} ,则



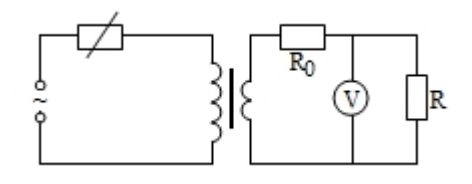
 $A.U_{ab}: U_{cd}=n_1: n_2$

B.增大负载电阻的阻值 R, 电流表的读数

变小

C.负载电阻的阻值越小,cd 间的电压 U_{cd} 越大 D.将二极管短路,电流表的读数 加倍

49.(2015·海南卷·T10)如图,一理想变压器原、副线圈匝数比为 4: 1,原线圈与一可变电阻串联后,接入一正弦交流电源; 副线圈电路中固定电阻的阻值为 R_0 ,负载电阻的阻值 $R=11R_0$, \bigcirc 是理想电压表: 现将负载电阻的阻值减小为 $R=5R_0$,保持变压器输入电流不变,此时电压表读数为 5.0V,则



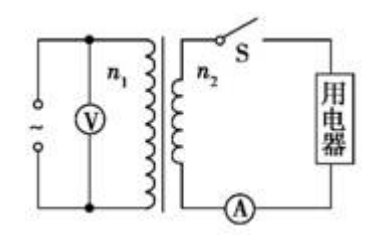
A.此时原线圈两端电压的最大值约为 34V

B.此时原线圈两端电压的最大值约为 24V

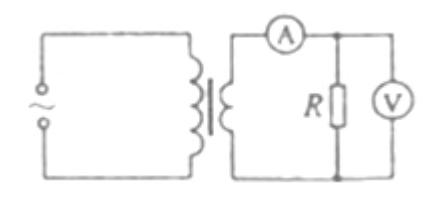
C.原线圈两端原来的电压有效值约为 68V

D.原线圈两端原来的电压有效值约为 48V

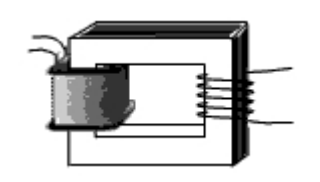
50.(2014·山东卷)如图,将额定电压为60V的用电器,通过一理想变压器接在正弦交变电源上。闭合开关S后,用电器正常工作,交流电压表和交流电流表(均为理想电表)的示数分别为220V和2.2A。以下判断正确的是



- A.变压器输入功率为 484W
- B.通过原线圈的电流的有效值为 0.6A
- C.通过副线圈的电流的最大值为 2.2A
- D.变压器原、副线圈的电流匝数比 $n_1:n_2=11:3$
- 51.(2010·海南卷·T9)如右图,一理想变压器原副线圈匝数之比为 4: 1 ,原线圈两端接入一正弦交流电源;副线圈电路中 R 为负载电阻,交流电压表和交流电流表都是理想电表.下列结论正确的是



- A.若电压表读数为6V,则输入电压的最大值为 $24\sqrt{2}V$
- B.若输入电压不变,副线圈匝数增加到原来的 2 倍,则电流表的读数减小到原来的一半
- C.若输入电压不变,负载电阻的阻值增加到原来的 2 倍,则输入功率也增加到原来的 2 倍
- D.若保持负载电阻的阻值不变.输入电压增加到原来的 2 倍,则输出功率增加到原来的 4 倍
- 52.(2010·重庆卷·T17)一输入电压为 220v,输出电压为 36V 的变压器副线圈绕环,为获知此变压器原、副线圈匝数,某同学拆下烧坏的副线圈,用绝缘导线在铁芯上新绕了 5 匝线圈。如题 17 图所示,然后将原来线圈接到 220v 交流电源上,测得新绕线圈的端电压为 1V,按理想变压器分析,该变压器烧坏前的原、副线匝数分别为



A.1100, 360 B.1100, 180

C.2200, 180 D.2200, 360

53.(2010·浙江卷·T17)某水电站,用总电阻为 2.5Ω 的输电线输电给 500km 外的用户,其输出电功率是 3×106KW。现用 500kV 电压输电,则下列说法正确的是

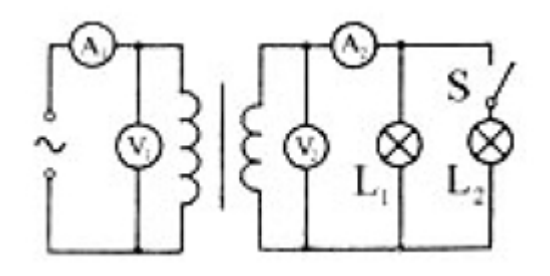
A.输电线上输送的电流大小为 2×10⁵A

B.输电线上由电阻造成的损失电压为 15kV

C. 若改用 5kV 电压输电,则输电线上损失的功率为 9×108KW

D.输电线上损失的功率为 $\Delta P = U^2/r$, U 为输电电压, r 为输电线的电阻

54.(2010·天津卷·T7)为探究理想变压器原、副线圈电压、电流的关系,将原线圈接到电压有效值不变的正弦交流电源上,副线圈连接相同的灯泡 L_1 、 L_2 ,电路中分别接了理想交流电压表 V_1 、 V_2 和理想交流电流表 A_1 、 A_2 ,导线电阻不计,如图所示。当开关 S 闭合后



 $A.A_1$ 示数变大, A_1 与 A_2 示数的比值不变

 $B.A_1$ 示数变大, A_1 与 A_2 示数的比值变大

 $C.V_2$ 示数变小, V_1 与 V_2 示数的比值变大

 $D.V_2$ 示数不变, V_1 与 V_2 示数的比值不变

55.(2010·福建卷·T13)中国已投产运行的1000kV特高压输电是目前世界上电压最高的输电工程。假设甲、乙两地原来用500kV的起高压输电,输电线上损耗的电功率为P。保持输送电功率和输电线电阻都不变的条件下,现改用100kV特高压输电,若不考虑其他因素的影响,则输电线上损耗的电功率将变为

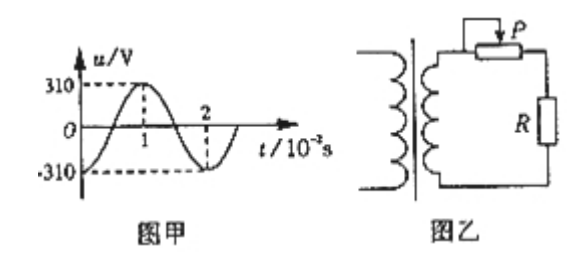
A. $\frac{p}{4}$

B. $\frac{p}{2}$

C. 2P

D. 4P

56.(2010·山东卷·T19)一理想变压器原、副线圈的匝数比为 10: 1, 原线圈输入电 压的变化规律如图甲所示,副线圈所接电路如图乙所示,为滑动变阻器的触头。 下列说法正确的是



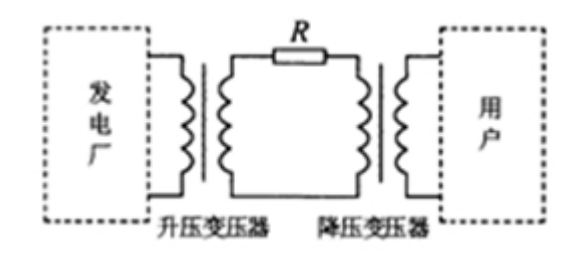
A.副线圈输出电压的频率为 50Hz

B.副线圈输出电压的有效值为 31V

C.P 向右移动时, 原、副线圈的电流比减小

D.P 向右移动时,变压器的输出功率增加

57.(2010·江苏卷·T7)在如图多事的远距离输电电路图中,升压变压器和降压变压 器均为理想变压器,发电厂的输出电压和输电线的电阻均不变,随着发电厂输出 功率的增大,下列说法中正确的有



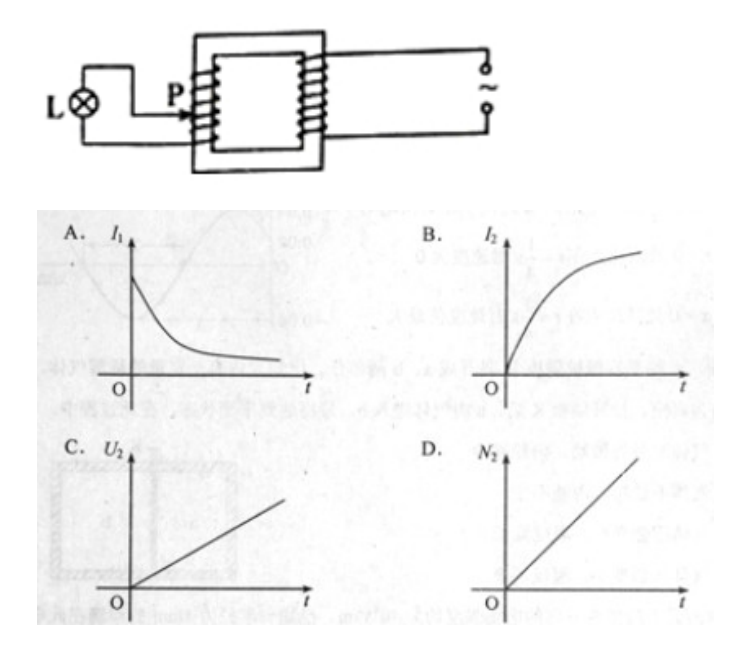
A.升压变压器的输出电压增大 B.降压变压器的输出电压增大

C.输电线上损耗的功率增大

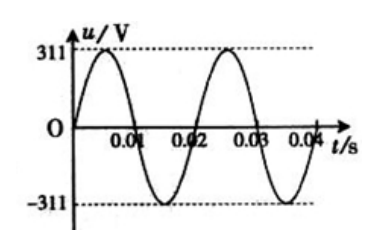
D.输电线上损耗的功率占总功率的比例增大

58.(2010·全国 II 卷·T19)图中为一理想变压器,其原线圈与一电压有效值不变的 交流电源相连: P 为滑动头。现令 P 从均匀密绕的副线圈最底端开始,沿副线圈 匀速上滑,直至白炽灯 L 两端的电压等于其额定电压为止。用 I_1 表示流过原线

圈的电流, I_2 表示流过灯泡的电流, U_2 表示灯泡两端的电压, N_2 表示灯泡消耗的电功率(这里的电流、电压均指有效值:电功率指平均值)。下列 4 个图中,能够正确反映相应物理量的变化趋势的是

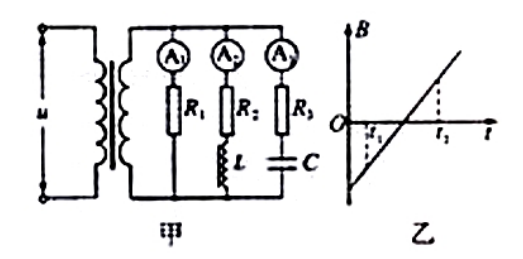


59.(2010•广东卷•T19)图 7 是某种正弦式交变电压的波形图,由图可确定该电压的



A.周期是 0.01s B.最大值是 311V C.有效值是 220V D.表达式为 u=220sin100πt(V)

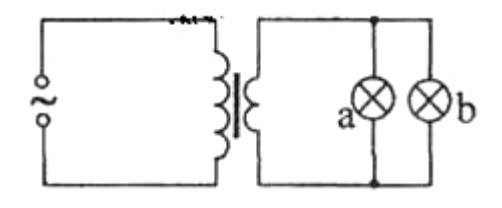
60.(2010·四川卷·T19)图甲所示电路中, A_1 、 A_2 、 A_3 为相同的电流表,C 为电容器,电阻 R_1 、 R_2 、 R_3 的阻值相同,线圈 L 的电阻不计。在某段时间内理想变压器原线圈内磁场的变化如图乙所示,则在 $t_1 \sim t_2$ 时间内



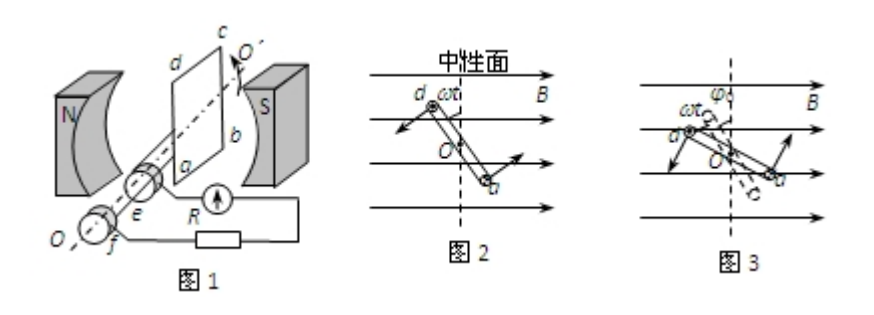
- A.电流表 A_1 的示数比 A_2 的小
- B.电流表 A2的示数比 A1的小
- C.电流表 A₁和 A₂的示数相同
- D.电流表的示数都不为零

非选择题:

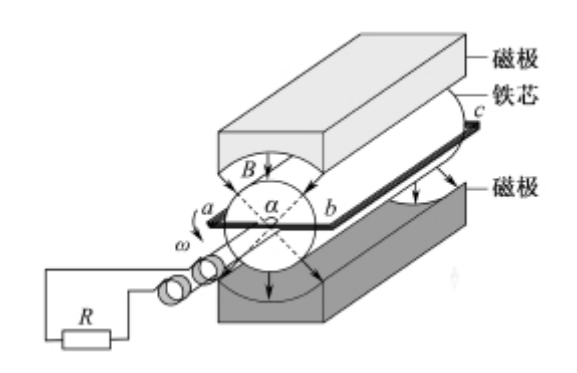
61.(2011·海南卷)如图,理想变压器原线圈与一 10V 的交流电源相连,副线圈并联两个小灯泡 a 和 b,小灯泡 a 的额定功率为 0.3W,正常发光时电阻为 30Ω,已知两灯泡均正常发光,流过原线圈的电流为 0.09A,可计算出原、副线圈的匝数比为 ,流过灯泡 b 的电流为 A。



62.(2012·安徽卷)图 1 是交流发电机模型示意图。在磁感应强度为B 的匀强磁场中,有一矩形线图 abcd 可绕线圈平面内垂直于磁感线的轴 OO'转动,由线圈引起的导线 ae 和 df 分别与两个跟线圈一起绕 OO'转动的金属圈环相连接,金属圈环又分别与两个固定的电刷保持滑动接触,这样矩形线圈在转动中就可以保持和外电话电阻 R 形成闭合电路。图 2 是线圈的住视图,导线 ab 和 cd 分别用它们的横截面来表示。已知 ab 长度为 L_1 , bc 长度为 L_2 ,线圈以恒定角速度 ω 逆时针转动。(只考虑单匝线圈)



- (1)线圈平面处于中性面位置时开始计时,试推导 t 时刻整个线圈中的感应电动势 e_1 的表达式;
- (2)线圈平面处于与中性面成 φ_0 夹角位置时开始计时,如图 3 所示,试写出 t 时刻整个线圈中的感应电动势 e_2 的表达式;
- (3)若线圈电阻为 r, 求线圈每转动一周电阻 R 上产生的焦耳热。(其它电阻均不计)
- $63.(2012 \cdot \text{江苏卷})$ 某兴趣小组设计了一种发电装置,如图所示. 在磁极和圆柱状铁芯之间形成的两磁场区域的圆心角琢均为49仔,磁场均沿半径方向. 匝数为N的矩形线圈abcd的边长ab =cd = l、bc =ad=2 l. 线圈以角速度棕绕中心轴匀速转动,bc和ad边同时进入磁场. 在磁场中,两条边所经过处的磁感应强度大小均为B、方向始终与两边的运动方向垂直。线圈的总电阻为r,外接电阻为R。求:



- (1)线圈切割磁感线时,感应电动势的大小Em;
- (2)线圈切割磁感线时, bc边所受安培力的大小F;
- (3)外接电阻上电流的有效值I。